

Министерство науки и образования Р.Ф.
Федеральное агентство по образованию
ГОУ ВПО «Уфимский Государственный Нефтяной Технический Университет»

кафедра «Горная и прикладная механика»

Учебно-методическое пособие

Расчет механических передач

Уфа - 2007

Предназначена в помощь студентам немеханических специальностей при выполнении домашних заданий и учебных проектов по курсу «Прикладная механика». Включает справочные данные и методики расчета передач с учетом требований ГОСТ 21354-87. в учебных целях введено упрощение расчетов.

Составители: Полканова О.Г., доцент, к.т.н.

Хлесткина В.Л., доцент, к.т.н.

Рецензенты: Загорский В.К., проф., д.т.н.

Попов А.Н., профессор, д.т.н.

СОДЕРЖАНИЕ

1. Кинематический и силовой расчет привода	2
2. Материалы и термическая обработка зубчатых колес	5
3. Выбор допускаемых напряжений при расчете цилиндрических и конических зубчатых передач	7
4. Методика расчета закрытой цилиндрической передачи	10
5. Методика расчета открытой цилиндрической передачи	18
6. Методика расчета закрытой конической прямозубой передачи	19
7. Методика расчета червячной с цилиндрическим червяком.....	23
СПИСОК ЛИТЕРАТУРЫ	30

I. КИНЕМАТИЧЕСКИЙ И СИЛОВОЙ РАСЧЕТ ПРИВОДА

Выбор электродвигателя. Привод - устройство для приведения в действие двигателем различных машин. При передаче мощности от двигателя к потребителю имеют место потери в элементах привода: в ременной и цепной передачах, в зубчатых зацеплениях, в подшипниках на валах. Все эти потери должны быть учтены при выборе электродвигателя, чтобы была обеспечена необходимая для потребителя мощность.

I.I. Порядок расчета

1.1.1. К.п.д. привода

$$\eta_{\text{пр}} = \eta_{\text{ред}} \cdot \eta_{\text{от}},$$

где $\eta_{\text{ред}}$ - к. п. д. редуктора;

$\eta_{\text{от}}$ - к. п. д. открытой передачи;

$$\eta_{\text{ред}} = \eta_{\text{зац}}^m \cdot \eta_{\text{вал}}^n,$$

где $\eta_{\text{зац}}$ - к.п.д. зубчатого зацепления;

m - число зацеплений в редукторе;

$\eta_{\text{вал}}$ – к.п.д. одного вала (пара подшипников);

n - количество валов в редукторе.

Ориентировочные значения к. п. д. [3]:

1) закрытая цилиндрическая зубчатая передача

$$\eta_{\text{шил}} = 0,97 \dots 0,98;$$

2) закрытая коническая передача $\eta_{\text{кон}} = 0,96 \dots 0,97$;

3) вал (пара подшипников) / f - = 0,99;

4) червячная передача $Z_1 = 4$, $\eta_{\text{чер}} = 0,9$;

$Z_1 = 1,3$; $\eta = 0,8$;

5) открытая ременная передача $\eta_{\text{рем}} = 0,96 \dots 0,97$;

6) открытая цепная передача $\eta_{\text{цеп}} = 0,94$;

7) открытая цилиндрическая передача $\eta_{\text{цеп}} = 0,95$.

1.1.2. Расчетная мощность двигателя

$$N_{\text{дв.рас.}} = \frac{N_{\text{вых}}}{\eta_{\text{пр}}}$$

По этой

$$N_{\text{вых}} = \frac{T_{\text{вых}} \cdot n_{\text{вых}}}{9.55 \cdot 10^6} \quad \text{мощности выбирают электродвигатель [3],}$$

где $T_{\text{вых}}$ - крутящий момент на выходном валу привода, Н.мм;

$n_{\text{вых}}$ - частота вращения выходного вала привода, об/мин./,

1.1.3. Передаточное отношение привода

$$i_{np} = \frac{n_{\text{дв}}}{n_{\text{вых}}}$$

1.1.4. Разбивка передаточного Отношения привода по ступеням

$$i_{np} = i_{om} \cdot i_{ped}$$

1. 1.5. Определяется частота вращения валов.

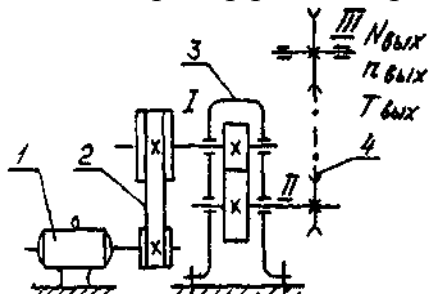
1.1.6. Определяется, мощность на всех валах.

1.1.7. Крутящие моменты на валах

Данные сводятся 8 Таблицу.

Но мер	N, кВт	n, об/мин.	T, Н·мм
цв.			
I			
II			

1.2. Пример расчета привода



I - электродвигатель;
2 - ременная передача;
3 - редуктор;
4 - репная передача.
 $T_{\text{вых}} = 0,95 \cdot 10^6 \text{ Н}\cdot\text{мм}$.
 $n_{\text{вых}}$ об/мин.

1.2.1. К.п.д. привода:

$$\eta_{\text{пр}} = \eta_{\text{рем}} \cdot \eta_{\text{ред}} \cdot \eta_{\text{цеп}} \cdot \eta_{\text{вал}}; \eta_{\text{ред}} = \eta_{\text{цил}} \cdot \eta_{\text{вал}}^2 = 0,98 \cdot 0,99^2 = 0,96;$$

$$\eta_{\text{пр}} = 0,96 \cdot 0,96 \cdot 0,96 \cdot 0,99 = 0,86.$$

1.2.2. Расчетная мощность двигателя

$$N_{\text{дв}} = \frac{N_{\text{вых}}}{\eta_{\text{вых}}}; N_{\text{вых}} = \frac{T_{\text{вых}} \cdot n_{\text{вых}}}{9,55 \cdot 10^6} = \frac{0,95 \cdot 10^6 \cdot 90}{9,55 \cdot 10^6} = 8,95 \text{ кВт.} \quad N_{\text{вых}} = \frac{8,95}{0,87} = 10,29 \text{ кВт}$$

Выбираем асинхронный электродвигатель 4А132М2УЗ $N_{\text{дв}}=11$ кВт. Синхронная частота вращения $n_{\text{дв}}=1500$ об/мин. Т. к. двигатель асинхронный, то

$$n_{\text{дв}} = 1500 \cdot (1 - S) = 1500(1 - 0.04) = 1440 \text{ об/мин.}$$

где S - коэффициент скольжения.

1.2.3. Определяем передаточное отношение привода :

$$i_{np} = \frac{n_{\text{дв}}}{n_{\text{вых}}} = \frac{1440}{90} = 16$$

1.2.4. Разбивка передаточного отношения по ступеням

$$i_{np} = i_{\text{рем}} \cdot i_{\text{ред}} \cdot i_{\text{цеп}}$$

$$i_{\text{ред}} = 2,5; \quad i_{\text{рем}} = 2;$$

$$i_{\text{цеп}} = \frac{i_{np}}{i_{\text{ред}} \cdot i_{\text{рем}}} = \frac{16}{2,5 \cdot 2} = 3,2$$

1.2.5. Частота вращения валов

$$n_I = \frac{n_{\text{об}}}{i_{\text{рем}}} = \frac{1440}{2} = 720 \text{ об/мин};$$

$$n_{II} = \frac{n_I}{i_{\text{ред}}} = \frac{720}{2,5} = 288 \text{ об/мин};$$

$$n_{III} = \frac{n_{II}}{i_{\text{чен}}} = \frac{288}{3,2} = 90 \text{ об/мин.}$$

1.2.6. Мощности на валах

$$N_I = N_{\text{об}} \cdot \eta_{\text{рем}} \cdot \eta_{\text{в}} = 10,29 \cdot 0,96 \cdot 0,99 = 9,78$$

$$N_{II} = N_I \cdot \eta_{\text{чел}} \cdot \eta_{\text{в}} = 9,78 \cdot 0,98 \cdot 0,99 = 9,49$$

$$N_{III} = N_{\text{об}} \cdot \eta_{\text{чен}} \cdot \eta_{\text{в}} = 9,49 \cdot 0,96 \cdot 0,99 = 8,95$$

1.2.7. Крутящие моменты на валах

$$T_{\text{об}} = 9,55 \cdot 10^6 \frac{N_{\text{об}}}{n_{\text{об}}} = 9,55 \cdot 10^6 \frac{10,29}{1440} = 0,07 \cdot 10^6$$

$$T_I = 9,55 \cdot 10^6 \frac{N_I}{n_I} = 9,55 \cdot 10^6 \frac{9,78}{720} = 0,13 \cdot 10^6$$

$$T_{II} = 9,55 \cdot 10^6 \frac{N_{II}}{n_{II}} = 9,55 \cdot 10^6 \frac{9,49}{288} = 0,31 \cdot 10^6$$

$$T_{III} = 9,55 \cdot 10^6 \frac{N_{III}}{n_{III}} = 9,55 \cdot 10^6 \frac{9,02}{90} = 0,95 \cdot 10^6$$

Сводил расчетные данные в табл. 1.1.

Таблица 1.1

Номер вала	N, кВт	n, об/мин	T, Н·мм
Дв.	10,29	1440	$0,07 \cdot 10^6$
I	9,78	720	$0,13 \cdot 10^6$
II	9,49	288	$0,31 \cdot 10^6$
III	9,02	90	$0,95 \cdot 10^6$

2. МАТЕРИАЛЫ И ТЕРМИЧЕСКАЯ ОБРАБОТКА ЗУБЧАТЫХ КОЛЕС

Выбор материала зубчатых колес зависит от требований, предъявляемых к размерам и массе передач, а также от мощности, окружной скорости и требуемой точности изготовления колёс [1].

Основным материалом для изготовления зубчатых колес большинства машин являются стали. В зависимости от твердости стальные зубчатые колеса делятся на две группы.

Первая группа - колеса с твердостью \leq HB 350. Применяются в мало- и средненагруженных передачах. Материалами для колес этой группы служат углеродистые стали 45, 65, 50Г, 65Г, легированные стали 40Х, 40ХН, 40ХГР и др. Термообработка - улучшение производится до нарезания зубьев. Колеса с твердостью \leq HB 350 хорошо-прирабатываются и не подвершены хрупкому разрушению. Для равномерного износа зубьев и лучшей их прирабатываемости твердость шестерни должна быть на (20-50)HB больше твердости колеса. Колеса с твердостью \leq HB 350 широко используются в мало- и средненагруженных передачах, в условиях индивидуального и мелкосерийного производства.

Вторая группа - колеса с твердостью $>$ HB 350 (при твердости $>$ HB 350 твердость материала изменяется по шкале Роквелла: 10 HB \approx I HRC). Применяются в тяжелонагруженных передачах. Высокая твердость рабочих поверхностей зубьев достигается объемной и поверхностной закалкой, цементацией. Эти виды термообработки позволяют в несколько раз повысить нагрузочную способность передачи по сравнению с улучшенными сталью. Поверхностная закалка токами высокой частоты (т.в.ч.) целесообразна для шестерен с модулем \geq 2 мм, работающих с улучшенными колесами, ввиду хорошей приработки зубьев.

Колеса с твердостью $>$ HB 350 нарезают до термообработки. Отделка зубьев производится после термообработки. Стали, рекомендуемые для цилиндрических и конических колес, приведены в табл. 2.1.

Таблица 2.1

Материалы, применяемые для зубчатых колес

Марки стали по ГОСТ	Вид термообработки	Твердость зуба*		Средн. значения механических МПа		
		сердцевины HB	поверхности HPC	σ_B	σ_T	σ_{-1}
1	2	3	4	5	6	7
Ст. 5	В состоянии поставки	200	18	600	280	250
Ст. 6		200	18	700	310	260
65	Нормализация Улучшение Закалка	170 300 400	16 30 40	600 700 920	270 500 680	240 300 400
45	Нормализация Улучшение Закалка Закалка ТВЧ	200 250 400 300	18 23 42 50	650 800 960 900	320 510 750 650	280 380 420 400
50Г	Нормализация Улучшение Закалка	200 250 400	18 24 42	600 720 1000	370 430 800	300 340 500
65Г	Нормализация Улучшение Закалка Закалка	270 300 400 650	27 30 45 60	750 900 1100 1500	400 650 1000 1360	350 430 550 750
40Х	Нормализация Улучшение Закалка Закалка Закалка ТВЧ	200 250 400 530 300	18 23 42 52 50	700 900 1250 1550 900	400 700 1150 1400 750	300 400 550 680 460
40ХН	Нормализация Закалка Закалка ТВЧ	250 400 320	24 48 50	900 1500 1000	700 1300 800	420 750 500
40ХГР	Улучшение Закалка ТВЧ	300 300	31 50	950 950	850 850	500 500
15	Нормализация Цементация	150 165	- 60	400 530	210 320	170 230
20Х	Нормализация Улучшение Цементация	170 240 290	- 22 60	540 700 950	350 500 800	340 360 420

* - Испытание на твердость, производят путем вдавливания в поверхность испытуемого материала стального парика (метод Бринеля), алмазного конуса (метод Роквелла), алмазной пирамидки (метод Виккерса). О твердости судят по величине площади отпечатка на металле.

Если нагрузку обозначить F , а площадь сферической поверхности лунки A , то твердость по Бринелю

$$HB = \frac{F}{A} = \frac{2F}{\pi D(D - \sqrt{D^2 - d^2})}, \quad (2,1)$$

где D - диаметр шарика, мм;

d - диаметр отпечатка, мм.

между твердостью и прочностью существует зависимость $\sigma = kHB$,

где k - коэффициент пропорциональности. Зависит от вида материала (сталь, латунь, медь и др.).

3. ВЫБОР ДОПУСКАЕМЫХ НАПРЯЖЕНИЙ, ПРИ РАСЧЕТЕ ЦИЛИНДРИЧЕСКИХ ИКОНИЧЕСКИХ ЗУБЧАТЫХ ПЕРЕДАЧ

Для закрытых зубчатых передач основным, выполняемым в качестве проектного, является расчет на контактную прочность; расчет на изгиб выполняется как проверочный. Открытые передачи рассчитывают на изгиб.

3.1. Допускаемые контактные напряжения

Экспериментом установлено, что контактная прочность рабочих поверхностей зубьев определяется в основном твердостью этих поверхностей. Допускаемые контактные напряжения для расчетов на выносливость при длительной работе

$$[\sigma_H] = (\sigma_{H\limb} / S_H) \cdot Z_N, \quad (3,1)$$

где $\sigma_{H\limb}$ - предел контактной выносливости поверхностей зубьев, соответствующий базовому числу циклов перемены напряжений $N_{H\limb}$, МПа.

Экспериментальные значения $\sigma_{H\limb}$ приведены в табл.3.1.

Таблица 3.1.

Термическая обработка.	Твердость поверхностей зубьев	Группа стали	$\sigma_{H\limb}$, МПа
Нормализация, улучшение	HB100-350	Углеродистые и легированные стали	2HB+70
Объемная закалка	HRC38-50		I8HRC+150
Поверхностная закалка	HRC40-56		17HRC+200
Цементация и нитроцементация	HRC56-65	легированные стали	23HRC

S_H - коэффициент безопасности; в связи с постепенным процессом повреждения поверхности и пониженной опасностью аварии машин коэффициент S_H назначают небольшим: $S_H=1,1$ (при однородной структуре материала); $S_H=1,2$, при неоднородной структуре материала (поверхностная закалка, цементация и др.).

Z_N - коэффициент долговечности, учитывающий влияние срока службы и режима нагрузки передачи, ч.

$$Z_N = \sqrt[6]{\frac{N_{H\limb}}{N_{HE}}} \geq 1 \leq Z_{N_{MAX}}$$

Для нормализованных и улучшенных колес $Z_{N_{MAX}}=2,6$; для колес с

поверхностной закалкой, цементация $Z_{N\max}=1,8$.

Базовое число циклов N_{Hlimb} определяется твердостью рабочих поверхностей зубьев, (табл.3.2).

Таблица. 3.2
Базовое число циклов.

Твердость поверхностей зубьев НВ	5 0. 200	5 50	2 00	3 50	3 00	4 50	4 00	5 50-	5 50-	6 00
N_{Hlimb} , млн. циклов	0	1	1	2	3	5	6	8	14	1
	0	6.5	5	6.4	0	8	7	14	43	1

N_{HE} - эквивалентное число циклов перемены напряжения. При постоянной нагрузке определяется по формуле

$$N_{HE} = 60nL_h, \quad (3;3)$$

где n - частота вращения того из колес, по материалу которого определяют допускаемое напряжение, мин^{-1} .

L_h - долговечность передачи, ч.

При $N_{HE} > N_{Hlimb}$ $Z_N=1$.

Расчет передач ведут по меньшему значению $[\sigma_h]$ из полученных для шестерни и колеса. Ввиду незначительного влияния на величину допускаемого напряжения $[\sigma_h]$ в расчете не учтены размеры, шероховатость поверхности и окружная скорость колес.

3.2. Допускаемые напряжения изгиба $[\sigma_F]$

Допускаемые напряжения изгиба для расчетов на выносливость при длительной работе

$$[\sigma_F] = (\sigma_{Flimb} / S_F) \cdot Y_N, \quad (3.4)$$

Где σ_{Flimb} - базовый предел выносливости зубьев по излому от напряжений изгиба, соответствующий базовому числу циклов перемены напряжений N_{Flimb} . Базовое число циклов перемены напряжений изгиба $N_{Flimb}=4 \cdot 10^6$ [4].

Экспериментальные значения σ_{Flimb} приведены в табл. 3.3 [3].

Таблица 3.3

Термическая обработка	Твердость зубьев		Группа стали	σ_{Flimb} , МПа
	на поверхности	в сердцевине		
Нормализация и улучшение	HB 180...350		Углеродистые и легированные стали	HB+260
Объемная закалка	HRC 35...45			550-600
Закалка ТВЧ сквозная (модуль < 3 мм)	HRC 45...55	HRC 25...55	Легированные стали	550
Закалка ТВЧ по контуру зуба (модуль > 3 мм)	HRC 45...55	HRC 45...55		650
Цементация	HRC 55...63	HRP 30...45		750-800

S_F - коэффициент безопасности. Рекомендуется принимать для поковок и штамповок $S_F = 1,7$; для проката $S_F = 1,9$; для литых заготовок $S_F = 2,2$;

Y_N - коэффициент долговечности. При твердости рабочих поверхностей HB ≤ 350 .

$$Y_N = \sqrt[6]{N_{F\lim b} / N_{FE}} \geq 1, \text{ но } \leq 2; \quad (3.5)$$

при твердости HB > 350

$$Y_N = \sqrt[9]{N_{F\lim b} / N_{FE}} \geq 1, \text{ но } \leq 1,6. \quad (3.6)$$

Для длительности работающих передач при

$$N_{FE} \geq N_{F\lim b} \quad Y_N = 1,0$$

Эквивалентное число циклов при постоянной нагрузке

$$N_{FE} = 60 \cdot n \cdot L_h$$

Для реверсивных передач $[\sigma_F]$ уменьшают на 25%.

4. МЕТОДИКА РАСЧЕТА ЗАКРЫТОЙ ЦИЛИНДРИЧЕСКОЙ ПЕРЕДАЧИ

Ниже индекс $i=1$ присваивается параметрам, относящимся к шестерне, а $i=2$ - к колесу.

Исходные данные:

T_2 - крутящий момент на большем колесе, Н.м; //

n_1 - частота вращения шестерни, мин⁻¹; и

i - передаточное число зубчатой передачи; L /,

L_h - требуемый полный ресурс передачи, ч?

кинематическая схема и условия работы передачи.

Проектировочный расчет

4.1. Назначить степень точности передачи (для редукторов общего назначения - 7,8).

4.2. Выбрать материал и твердость рабочих поверхностей зубьев (см. раздел 2).

4.3. Определить расчетное допускаемое контактное напряжение $[\sigma_H]$, МПа (см. раздел 2).

4.4. Выбрать коэффициенты ширины зубчатого венца относительно диаметра Ψ_{bd} и относительно модуля Ψ_{bm} (табл., 4.1).

Таблица 4.1

Рекомендуемые значения Ψ_{bd} и Ψ_{bm}

Параметр	Расположение шестерни относительно опор	Твердость раб. поверх. зубьев	
		H1 и H2 \leq HB350	H1 и H2 \geq HB350
$\Psi_{bd} = \frac{b_w}{d_{w_1}}$	симметричное	0,8 – 1,4	0,4 – 0,9
	несимметричное	0,6 – 1,2	0,3 – 0,6
	консольное	0,3 – 0,4	0,20 – 0,25
$\Psi_{bm} = \frac{b_w}{m}$	Для редукторов с достаточно жесткими валами	не более 25-30	не более 15-20

Замечания: 1. Большие значения для постоянных нагрузок жестких более высокой степени точности.

2. Для открытых передач и для подвижных колес коробок передач:

$$\Psi_{bd} = 0,20 – 0,25;$$

3. Для косозубых передач значение ${}^1P_{\mathcal{E}}$. можно увеличить : 1,2 раза для шевронных при $b.v$. равной сумме полушёвронов. в 1.3 - 1.4 раза.

4.5. Определить предварительное значение коэффициента ширины венца

относительно межосевого расстояния:

$$\psi_{ba}^{np} = 2\psi_{bd}/u \pm 1$$

где "-" для зубчатых передач внешнего зацепления. "+" для внутреннего.

4.6. Выбрать числа зубьев колес:

$$Z_1 * - \wedge Z_1 \text{mm}; Z_2 = Z_r \cdot u > Z_{2\text{ima}}, \quad .$$

Для первой ступени редуктора $Z_1 = 20 \dots 30$ для второй - $17 \dots 24$. Минимально допустимое число зубьев шестерни при $X = 0$ $Z_{\min} = 17$. После округления Z до целых чисел следует проверить фактическое передаточное число $U = Z_2/Z_1$.

4.7. Определить коэффициент концентрации нагрузки K_{K_B} по табл. 4.2.

Таблица 4.2

Ориентировочные значения коэффициента K_{K_B}

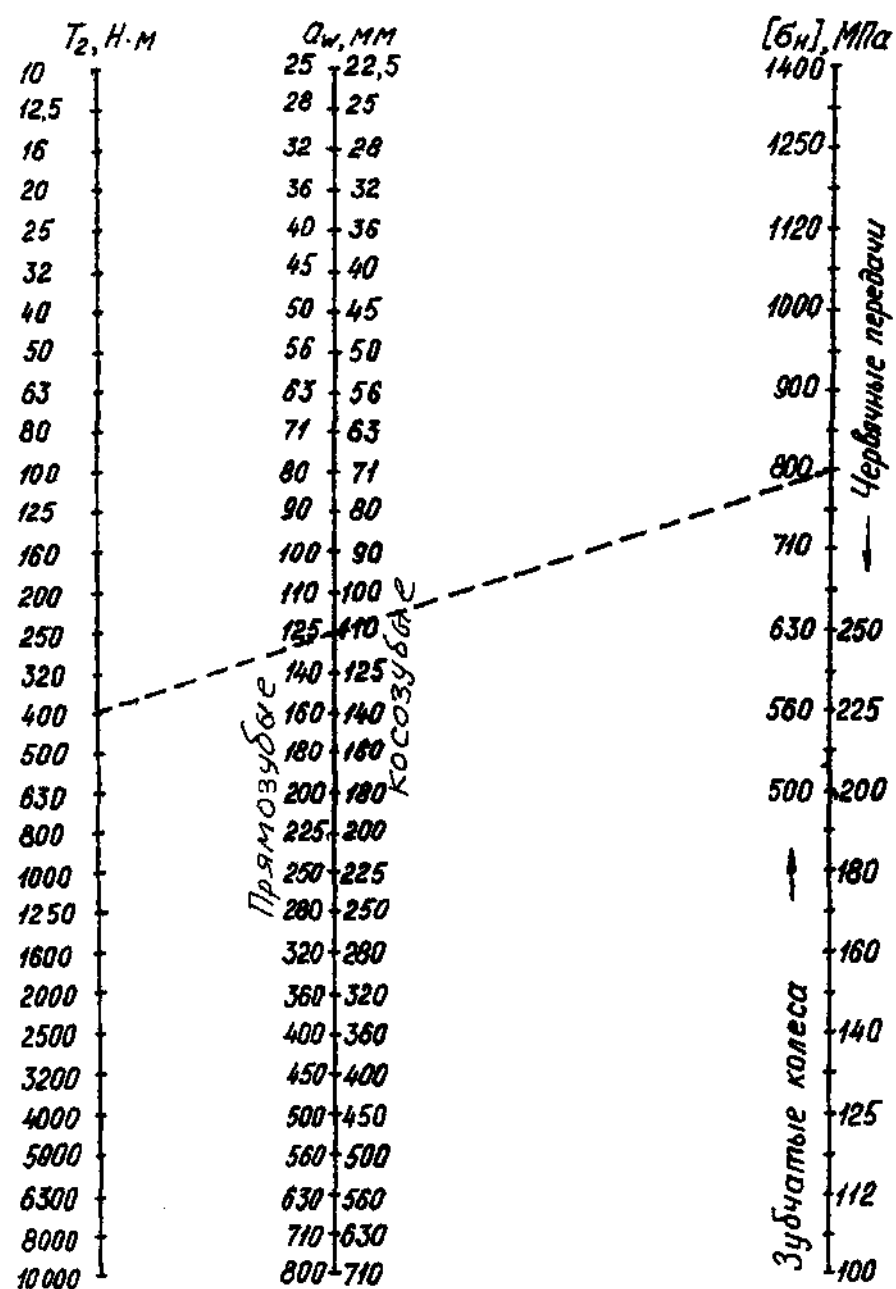
Расположение шестерни относительно опор	Твердость поверхности зубьев колеса HB	$\psi_{BB} = b_w/d_1$					
		0,2	0,4	0,6	0,8	1,2	1,6
симметричное	≤ 350	1,01	1,02	1,03	1,04	1,07	1,11
	> 350	1,01	1,02	1,04	1,07	1,16	1,26
несимметричное	≤ 350	1,03	1,05	1,07	1,12	1,19	1,23
	> 350	1,06	III	120	1,29	1,48	-
консольное, опоры-шарикоподшипники	≤ 350	1,08	1,17	1,28	-	-	-
	> 350	1,22	1,44	-	-	-	-
консольное, опоры-роликоподшипники	≤ 350	1,06	1,12	1,19	1,27	-	-
	> 350	1,11	1,25	1,45	-	-	-

4.8. Определить ориентировочно межосевое расстояние по номограмме (ст.).

4.9. Определить предварительно межосевое расстояние, мм:

$$\alpha_w^{np} = K_o(u \pm 1) \sqrt[3]{\frac{T_2 \cdot K_{HB}}{[\sigma_H]^2 \cdot u^2 \cdot \psi_{bd}^{np}}}$$

где K_a - вспомогательный коэффициент. $K_a = 49.5$ для прямозубой. $K=43.0$ для косозубой передачи.



Номограмма

Результаты вычислений сравнить с межосевым расстоянием по номограмме.

4.10. Определить модуль колес, мм:

$$m_n = \frac{2\alpha_w^{np} \cdot \cos \beta}{(Z_1 - Z_2)}, \quad (4.2.)$$

где угол наклона зубьев по длительному цилиндру выбирается $\beta = 0$ для прямозубых: $\beta = 8 \dots 25^\circ$ для косозубых. $\beta = 25 \dots 40^\circ$ для шевронных колес. Модуль m_n округляется до ближайшего стандартного по табл. 4.3. [I].

Таблица 4.3

Ряды	Модуль, мм														
1-й	1	1,25	1,5	2	2,5	3	4	5	6	8	10	12	16	20	25
2-й	1,125	1,375	1,75	2,25	2,75	3,5	4,5	5,5	7	9	11	14	18	22	

Значения модулей стандартизированы СТ СЭВ 310 - 76 в диапазоне 0,05... 100 мм.

4.10.1. Окружной модуль m_t можно определить по формуле

$$m_t = \frac{m_n}{\cos \beta}$$

4.11. Уточнить фактическое межосевое расстояние, мм

$$\alpha_w = \frac{m_n(Z_t + Z_B)}{2 \cdot \cos \beta} \quad (4.3)$$

4.12. Уточнить коэффициент ширины зубчатого венца

$$\psi_{ba} = \psi_{ba}^{np} \left(\frac{\alpha_w^{np}}{\alpha_w} \right)^3 \quad (4.4)$$

4.13. Определить рабочую ширину венца зубчатой передачи и округлить до целого числа, мм:

$$b_w = \alpha_w \cdot \psi_{ba} \quad (4.5)$$

4.14. Определить делительные (начальные) диаметры колес {с точностью до сотых долей}, мм:

$$d_{w1.2} = d_{1.2} = \frac{m_n \cdot Z_{1.2}}{\cos \beta} \quad (4.6)$$

Полученные параметры колес в процессе проектирования и разработки чертежей могут быть изменены; после определения окончательно принятых размеров производится проверочный расчет передачи.

4.15. Определить расчетную удельную окружную силу при расчете на контактную выносивость, Н/мм:

$$W_{Ht} = W_t \cdot K_{H\beta} \cdot K_{HV} \quad (4.7)$$

где W_t - удельная окружная сила, Н/мм

$K_{H\beta}$ - коэффициент, учитывающий неравномерность распределения нагрузки па ширине венца при фактическом значении

$\psi_{bd} = b_w/d_1$ (см. табл. 4.2);

K_{HV} - коэффициент, учитывающий динамическую нагрузку, возникающую в зацеплении (табл. 4.4)

Таблица 4.4

Значение коэффициента динамической нагрузки K_{HV}

Степень точности	Твердости поверхностей зубьев	V, м/с					
		1	2	4	6	8	10
7-я	$H_I = H_2 < 350$						
	$HB \leq 350$ или	1,04	1,07	1,14	1,21	L29	1,36
	$H_I \geq HRC42$	1,02	1,03	1,05	1,06	1,07	1,08
	$H_2 \leq HB350$						
7-я	$H_I \geq HRC42$	1,03	1,05	1,09	1,14		L24
	$H_2 \geq BDC4.$	1,00	I.QI	1,02	1,03	1,03	1,04
8-я	$H_I = H_2 \leq 350$						
	$HB \leq 350$ или	1,04	1,08	1,16	1,24	L32	1,40
	$H_I \geq HRC42$	1,01	1,02	1,04	1,06	1,07	1,08
	$H_2 \leq HB350$						
	$H_I \geq ЦАБ$	1,83	1,06	I.I0	1,16		1,26
	$H_2 \geq HRC42$	1,01	1,01	1,02	1,03	1,04	1,05

Примечание:

1. Значения K_{HV} в числителе относятся к прямозубым передачам, а в знаменателе – к косозубым.

2. V - окружная скорость колес; $V = \frac{\pi \cdot d_i \cdot n_i}{60 \cdot 1000}$

4.16. Определить расчетные контактные напряжения в зоне контакта зубьев, МПа:

$$\sigma_H = Z_M \cdot Z_H \cdot Z_\varepsilon \sqrt{\frac{W_{Ht}(u \pm 1)}{dw_2}}$$

где $Z_M = 274$ для стальных колес - коэффициент, учитывающий механические свойства материала колес:

Z_H - коэффициент, учитывающий форму сопряженных поверхностей зубьев.

$$Z_n = \sqrt{\frac{2 \cdot \cos \beta}{\sin 2\alpha_{wt}}} \text{ при } \beta=0^\circ, X=0, Z_H = 1,76.$$

Z_ε - коэффициент, учитывающий суммарную длину контактных линий

$$Z_\varepsilon = \sqrt{\frac{4 - \varepsilon_\alpha}{3}} \text{ - прямозубых;}$$

$$Z_\varepsilon = \sqrt{\frac{1}{\varepsilon_\alpha}} \text{ - для косозубых передач;}$$

ε_α - коэффициент торцевого перекрытия,

$$\varepsilon_\alpha = \left[1.88 - 3.2 \left(\frac{1}{z_1} + \frac{1}{z_2} \right) \right] \cos \beta.$$

4.17. Проверить выполнение условия контактной выносливости активной поверхности зубьев:

$$\sigma_H \leq 1,05[\sigma_H] \quad (4.10)$$

При проектировании редукторов общего назначения допускается 5 % перегрузка. При невыполнении этого условия можно увеличить Q_y in счет увеличения модуля зубьев m_n до следующего стандартного значения и повторить расчет с пункта (4.12). В некоторых случаях удобнее взять более прочный материал, оставив геометрические параметры неизменными.

Проверочный расчет на изгибную выносливость зубьев.

4.18. Определить расчетную удельную окружную силу при расчете на изгибную выносливость зубьев, Н/мм :

$$W_{Ft} = W_t \cdot K_{F\beta} \cdot K_{FV}, \quad (4.11)$$

где $K_{F\beta}$ - коэффициент, учитывающий неравномерность распределения нагрузки по ширине венца при изгибе (см. табл. 4.5) [2].

Таблица 4.5
Ориентировочные значения коэффициента $K_f\$$

Расположение шестерни относительно опор	Твердость поверхности зубьев колеса,	$\psi_{bd} = b_w / d_{w1}$					
		0,2	0,41	0,6	0,8	1,2	1,6
Симметричное	≤ 350	1,01	1,03	1,05	1,07	1,14	1,26
	> 350	1,02	1,04	1,08	1,14	1,30	-
Несимметричное	≤ 350	1,05	1,10	1,17	1,25	1,42	1,61
	> 350	1,09	1,18	1,30	1,43	1,73	-
Консольное, опоры-шашкоподшипники	≤ 350	1,16	1,37	1,64	-	-	-
	> 350	1,33	1,70	-	-	-	-
Консольное, опоры-роликоподшипники	≤ 350	1,10	1,22	1,38	1,57	-	-
	> 350	1,20	1,44	1,71	-	-	-

K_{FV} - коэффициент, учитывающий динамическую нагрузку, возникающую в зацеплении при изгибе зубьев (табл., 4.6) [I].

Таблица 4.6
Значения коэффициента динамической нагрузки K_{FV}

Степень точности	Твердость поверхностей зубьев	Окружная скорость колес, м/с					
		1	2	4	6	8	10
7-я	$H_1 = H_2$, $HB \leq 350$ или $H_I \geq HRC45$ $H_2 \leq HB350$	1,08	1,16	1,33	1,50	1,67	1,82
		1,03	1,06	1,11	1,16	1,22	1,27
		$H_I \geq HRC45$	1,03	1,05	1,09	1,13	1,17
		$H_2 \geq HRC45$	1,01	1,02	1,03	1,05	1,07
8-я	$H_1 = H_2$, $HB \leq 350$ или $H_I \geq HRC45$ $H_2 \leq HB350$	1,10	1,20	1,38	1,58	1,78	JL96
		1,03	1,06	I.H	1,17	1,23	1,29
		$H_I \geq HRC45$	1,04	1,06	1,12	1,05	1,07
		$H_2 \geq HRC45$	1,01	1,02	1,03		1,08

Примечание. Значения коэффициента K_{FV} в числителе относятся к прямозубым передачам, а в знаменателе - к косозубым.

4.19. Определить допускаемые напряжения изгиба для материала шестерни и колеса $[\sigma_F]_i$ (см. раздел 3.2).

4.20. Найти колеса с более слабыми по изгибной выносливости зубьям по меньшему отношению

$$[\sigma_F]_i / Y_{Fi},$$

где Y_{Fi} - коэффициент, учитывающий форму зуба i -го колеса (табл. 4.7) [I].

Для косозубых и шевронных колес Y_{Fi} определяется по эквивалентному числу зубьев:

$$Z_{vi} = \frac{Z_i}{\cos^3 \beta} \quad (4.12)$$

Таблица 4.7

Значение коэффициента формы зуба Y_F для некорригированного ($X=0$) внешнего зацепления

Z или Z_v	117	20	22	24	26	28	30	35	40
Y_F	4,26	4,07	3,98	3,92	3,88	3,81	3,79	3,75	3,70
Z или Z_o	45	50	65	80	100	150	300		рейка
Y_F	3,66	3,65	3,62	3,60	3,60	3,60	3,60		3,63

Из-за меньшего числа зубьев шестерни у основания более тонкий, чем у колеса; это отражено в большей величине коэффициента Y_F ($Y_{F1} > Y_{F2}$).

4.21. Определить напряжение изгиба в зубьях колеса с более

слабыми зубьями, МПа:

$$\sigma_F = \frac{WFr}{m_n} \cdot y_F \cdot y_\beta, \quad (4.14)$$

где y_β - коэффициент, учитывающий наклон зуба.

$$y_\beta = 1 - \frac{\beta^\circ}{140^\circ}. \quad (4.14)$$

4.22. Проверить выполнение условия изгибной выносливости

$$\sigma_F \leq 1,05[\sigma_F] \quad (4.15)$$

при невыполнении этого условия в пункте (4.11), сохранив значение a_w , увеличить пропорционально перегрузке стандартное значение модуля зубьев колес. Повторить расчет с пункта 4.18.

4.23. Определить геометрические размеры зубчатых колес

4.23.1. Диаметр вершин зубьев

$$d_{a1} = m_n \left(\frac{Z_1}{\cos \beta} + 2,0 \right),$$

$$d_{a2} = m_n \left(\frac{Z_2}{\cos \beta} + 2,0 \right)$$

4.23.2. Диаметр впадин зубчатых колес

$$d_{f1} = m_n \left(\frac{Z_1}{\cos \beta} + 2,5 \right),$$

$$d_{f2} = m_n \left(\frac{Z_2}{\cos \beta} + 2,5 \right).$$

Для прямозубых колес $\beta=0$.

5. МЕТОДИКА РАСЧЕТА ОТКРЫТОЙ ЦИЛИНДРИЧЕСКОЙ ПРЯМОЗУБОЙ ПЕРЕДАЧИ

Исходные данные: те же, что в разделе 4. Проектировочный расчет.

5.1. Выполнить раздел 3.1.

5.2. Выбрать значение коэффициента К (см. табл. 4.5).

5.3. Определить коэффициент Y_F , учитывающий форму зуба (см. табл.4.7).

5.4. Определить допускаемые напряжения изгиба $[\sigma_F]_i$ МП (см. раздел 3.2).

5.5. Определить модуль из условия изгибной выносливости, мм:

$$m \geq 1,43 \sqrt{\frac{T_2 \cdot K_{F\beta} Y_{F1}}{[\sigma_F]_i \cdot u \cdot \psi_{bd} Z_1^2}}.$$

Округлить значение модуля до стандартного в большую сторону (см.табл.4.3).

5.6. Определить рабочую ширину венца передачи и округлить до целого, мм:

$$m \geq 1,43 \sqrt{\frac{T_2 \cdot K_{F\beta} Y_{F1}}{[\sigma_F]_i u \psi_{bd} Z_1^2}}.$$

5.6. Определить межосевое расстояние, мм:

$$b_w = m \psi_{bm}.$$

5.8. Определить делительные (начальные) диаметры колес, мм:

Проверочный расчет

5.9. Выполнить пункты 4.15 - 4.17

6. МЕТОДИКА РАСЧЕТА ЗАКРЫТОЙ КОНИЧЕСКОЙ ПРЯМОЗУБОЙ ПЕРЕДАЧИ

Ниже индекс $i=1$ присвоен параметрам, относящимся к шестерне, $i=-2$ - к колесу.

Исходные данные:

T_2 - крутящий момент на большем колесе, Н.мм;

n_1 - частота вращения шестерни, мн $\text{^{-1}}$;

u - передаточное число зубчатой передачи;

L_h - требуемый полный ресурс передачи, ч;

$\Sigma_w = 90^\circ$ - межосевой угол передачи;

кинематическая схема и условия работы передачи.

Проектировочный расчет.

6.1. Задать степень точности передачи (7 или 8), материал и твердости рабочих поверхностей зубьев (см. раздел 2),

6.2. Определить расчетное допускаемое контактное напряжение $[\sigma_H]$, МПа (см. раздела).

6.3. Задать значения коэффициентов ширины венца; относительно конусного расстояния и относительно модуля $-\Psi_{bm}$:

$$K_{bm} = \frac{b}{R_e} = 0,25 - 0,3; \quad \psi_{bm} = \frac{b}{m_e} \leq 10,$$

где R_e - внешнее конусное расстояние, мм;

m_e - внешний делительный модуль зубьев, мм.

6.4. Выбрать число зубьев колес:

$$Z_1 \approx \frac{2\psi_{bm}}{K_{be}} \geq 18,4 \cos \delta_1; \quad z_2 = z_1 \cdot u \leq 80$$

где δ_1 - угол делительного конуса шестерни ($\operatorname{tg} \delta_1 = 1/u$).

Обычно $Z_1 = 18 \dots 24$.

6.5. Определить коэффициент $K_{H\beta}$, учитывающий неравномерность распределения нагрузки по ширине венца, по коэффициенту эквивалентного цилиндрического колеса Ψ_{bdv} (табл. 6.1):

$$\psi_{bdv} = \frac{K_{be}u}{2 - K_{be}}.$$

6.6. Определить внешнее конусное расстояние из условия контактной выносливости активных поверхностей зубьев, мм:

$$R_e \geq 50\sqrt{u^2 + 1} \cdot 3 \sqrt{\frac{T_2 \cdot K_{H\beta}}{[\sigma_H]^2 u^2 K_{be} \cdot 0,85(1 - 0,5K_{be})^2}}$$

Результат вычисления проверить по номограмме (см. раздел 4).

6.7. Определить внешний делительный модуль зубьев, мм:

$$m_e = \frac{2R_e \sin \delta_i}{Z_i},$$

где δ_i - угол делительного конуса i -го колеса, $\operatorname{tg} \delta_2 = u$.

Полученное значение m_e округлить до стандартного в большую сторону (см. табл. 4.3).

6.8. Уточнить внешнее конусное расстояние, мм:

$$R_e = \frac{m_e Z_i}{2 \sin \delta_i},$$

6.9. Определить ширину зубчатого венца передачи и округлить до целого, мм.:

$$b = R_e K_{be}.$$

6.10. Определять внешние делительные диаметры колес, мм:

$$d_{ei} = m_e Z_i.$$

6.11. Определить средние делительные диаметры колес, мм:

$$d_i = m z_i,$$

где m - средний делительный модуль зубьев, мм: $m = m_e (1 - K_{be})$.

6.12. Убедиться, что полученные параметры передачи приемлемы по конструктивным и технологическим соображениям. В противном случае внести корректировки и задать окончательные размеры для проверочного расчета.

Проверочный расчет на контактную выносливость поверхностей зубьев.

6.13. Определить расчётную удельную окружную силу, Н·мм:

$$W_{Ht} = W_t K_{H\beta} K_{HV},$$

где W_t - удельная окружная сила, Н/мм;

K_{HV} - коэффициент, учитывающий динамическую нагрузку, возникающую в зацеплении.

$$W_t = \frac{2T_2}{d_2 b}; \quad K_{H\beta} \quad (\text{см. табл. 6.1})$$

K_{HV} - для прямозубых колес в табл. 4.4 по окружной скорости колес заднем делительном диаметре

$$V = \frac{\pi d_1 n_1}{60 \cdot 1000}.$$

Степень точности в табл. 4.4 брать на ступень ниже, т.е. если назначена при расчете степень точности 7, то коэффициент в табл. 4.4 брать для 8-й степени точности.

6.14. Определить контактные напряжения, МП:

$$\sigma_H = Z_M \cdot Z_H \cdot Z_\varepsilon \sqrt{\frac{W_{Ht} \sqrt{u^2 + 1}}{d_2 \cdot 0,85}},$$

где $Z_M = 274$ ($\text{МПа}^{1/2}$) для стальных колес - коэффициент, учитывает механические свойства материала колес;

Z_H - коэффициент, учитывающий форму сопряженных поверхностей зубьев.

$$Z_H = \sqrt{\frac{2 \cos \beta}{\sin 2\alpha_{w_t}}} \text{ при } \beta=0, Z_H=1,76;$$

Z_ε - коэффициент, учитывающий суммарную длину контактных линий

$$Z_\varepsilon = \sqrt{\frac{4 - \varepsilon_\alpha}{3}};$$

ε_α - коэффициент торцевого перекрытия.

$$\varepsilon_\alpha \approx \left[1,88 - 3,2 \left(\frac{1}{Z_{v1}} + \frac{1}{Z_{v2}} \right) \right]$$

$Z_{v_i} = \frac{Z_i}{\cos \delta_i}$ - число зубьев эквивалентного колеса.

6.15. Проверить выполнение условия контактной выносливости активных поверхностей зубьев $\sigma_H \leq 1,05[\sigma_H]$.

При невыполнении этого условия увеличить геометрические размеры передачи, увеличив m_e до следующего стандартного значения. Повторить расчеты с пункта 6.8.

Проверка изгибной выносливости зубьев.

6.16. Определить расчетную удельную бокру*ную силу при расчете на изгибную выносливость, Н/мм: $W_{Ft} = W_t k_{F\beta} k_{FV}$

коэффициент $k_{F\beta}$ (см. табл. 6.1).

6.17. Определить допускаемые напряжения изгиба для материала шестерни и колеса $[\sigma_F]_i$, МПа (см. раздел 3.2.).

Коэффициенты K_H и K_{Fg} для конических передач с прямыми и тангенциальными зубьями

Коэффициент ширины венца эквивалент- ного цилинд- рического колеса	При расчете на контактную прочность				При расчете на изгибную прочность			
	Роликовые опоры		Шариковые опоры		Роликовые опоры		Шариковые опоры	
	Твердость рабочих поверхностей зубьев							
	H1 или H2 $> HB350$	H1 или H2 $\leq HB350$	H1 или H2 $> HB350$	H1 или H2 $> HB350$	H1 или H2 $> HB350$	H1 или H2 $\leq HB350$	H1 или H2 $> HB350$	H1 или H2 $> HB350$
0,2	1,08	1,04	1,16	1,07	1,15	1,08	1,25	1,13
0,4	1,20	1,08	1,37	1,14	1,30	1,15	1,55	1,29
0,6	1,32	1,13	1,58	1,23	1,48	1,25	1,92	1,47
0,8	1,44	1,18	1,80	1,34	1,67	1,35	-	1,70
1,0	1,55	1,23	-	-	1,90	1,45	-	-

Примечание. Значения коэффициентов $K_{H\beta}$ и $K_{F\beta}$ соответствуют консольному расположению одного из колес конической передачи.

6.18. Определить напряжения изгиба в зубьях колеса с более слабыми зубьями, МПа (слабое звено находится по меньшему отношению $[\sigma_F]_i / y_{Fi}$).

$$\sigma_{Fi} = \frac{W_{Ft}}{m} \cdot \frac{y_{Fi}}{0,85},$$

где y_{Fi} - коэффициент, учитывающий форму зуба i -го колеса. Находится по табл. 4.7. по числу зубьев эквивалентного цилиндрического колеса $Z_{vi} = Z_i / \cos \delta_i$.

6.19. Проверить выполнение условия; изгибной выносливости зубьев более слабого звена: $\sigma_{Fi} \leq 1,05 [\sigma_F]_i$.

При невыполнении этого условия в пункте 6.8, сохранив значение R_e , увеличить пропорционально перегрузке стандартное значение модуля m_e . Повторить расчет.

7. МЕТОДИКА РАСЧЕТА ЧЕРВЯЧНОЙ ПЕРВДАЧИ С ЦИЛИНДРИЧЕСКИМ ЧЕРТЯКОМ.

Ниже индексы "1" к "2" присвоены соответственно параметрам червяка и червячного колеса.

Исходные данные:

u - передаточное число червячной передачи;

T_2 - врачающий момент на червячном колесе, Н.мм;

n_2 - частота вращения червячного колеса, мин;

Z_1 - число витков червяка (при $u=8-15$ принять $Z_1=4$; при $u=15-31$ принять $Z_1=2$, при $u > 31$ $Z_1=1$);

L_h - требуемый полный ресурс передачи, ч;

- кинематическая схема и. условия работы передачи.

Проектировочный расчет

7.1. Определяет ориентировочное значение межосевого расстояния из опыта эксплуатации таких передач с сохранением контактной прочности зубьев и отсутствием заедания (a_w в мм, при T_2 в Н·мм)

$$a_w \approx 2,13\sqrt{T_2}.$$

7.2. Округляет a_w до ближайшего значения в табл. 7.1. При единичном производстве можно округлить до ближайшего значения, оканчивающегося на 0 или 5 мм.

7.3. Определяет число зубьев червячного колеса и округляют до ближайшего целого числа $Z_2 = Z_1 \cdot u \geq 28$.

Таблица 7.1

Основные, параметры червячных передач
по ГОСТ 2144 - 75 (извлечение) при $Z_1 = 1.2.4$

a_w , мм	Комбинации параметров									
	Z_2	32	36	40	46	50	58	63	73	80
40	m, мм	2	1,6*	1,6	12,5*	1,25	1*	1*	-	-
	q	8	12,5	10	16	12,5	20	16	-	-
50	m, мм	2,5	2*	2	1,6*	1,6	1,25*	1,25*	-	-
	q	8	12,5	10	16	12,5	20	16	-	-
63	m, мм	3,15	2,5*	2,5*	2*	2*	1,6*	1,6*	-	-
	q	8	12,5	10	16	12,5	20	16	-	-
80	m, мм	4	3,15*	3,15*	2,5*	2,5*	2*	2*	-	16*
	q	8	16	10	16	12,5	20	16	-	20
100	m, мм	5	4*	4	3,5*	3,15*	2,5*	2,5*	-	2
	q	8	12,5	10	16	12,5	20	16	-	20
125	m, мм	6,3*	5*	5	4*	4	3,15*	3,15*	-	2,5
	q	8	12,5	10	16	12,5	20	16	-	20
140	m, мм	6,3*	6,3*	5	5	4	4*	-	3,15	-
	q	12,5	8	16	16	20	12,5	-	16	-
160	m, мм	8	6,3*	6,3*	5*	5*	4*	4*	-	3,15
	q	8	14	10	16	12,5	20	16	-	20
180	m, мм	8*	6,3	6,3*	6,3*	5	5*	5*	4*	-
	q	12,5	8	16	10	20	12,5	12,5	16	-
200	m, мм	10	8*	8	6,3*	6,3*	5*	5	-	4
	q	8	12,5	10	16	10	20	16	-	20
225	m, мм	10*	10*	8	8	6,3*	6,3*	6,3*	5*	-
	q	12,5	8	16	10	12,5	12,5	12,5	16	-
250	m, мм	12,5	10*	10	8*	6,3*	6,3*	6,3*	-	5
	q	8	12,5	10	16	20	20	16	-	20
280	m, мм	12,5*	12,5*	10	10	8*	8*	-	6,3	-
	q	12,5	8	6	10	12,5	12,5	-	16	-
315	m, мм	16	12,5	12,5*	10	8*	8*	8*	-	6,3
	q	8	12,5	10	16	20	20	16	-	20
355	m, мм	16*	16*	12,5*	12,5*	10*	10*	-	8*	-
	q	12,5	8	16	10	12,5	12,5	-	16	-

Примечание. Комбинации параметров, отмеченные (*), при прицеленных значениях z_2 для получения стандартного межосевого расстояния требуют смещения исходного производящего контура.

7.4. По табл. 7.1. подбирают комбинацию параметров m и q , соответствующую ближайшим значениям a_w и Z_2 (m – модуль зубьев, мм; q – коэффициент диаметра червяка).

7.5. Определяют геометрические и кинематические параметры передачи: межосевое расстояние $a_w = m(q + Z_2)/2$;

делительные (начальные) диаметры червяка и колеса, мм:

$$d_1 = m \cdot q; d_2 = m \cdot Z_2;$$

диаметр вершин, мм:

$$d_{a1} = d_1 + 2m; d_{a2} = d_2 + 2m;$$

наибольший диаметр червячного, мм:

$$d_{am2} \leq d_{a2} + 6m/(Z_1 + 2),$$

диаметр впадин архimedовых червяков, мм:

$$d_{f1} = d_1 - 2,4 \cdot m; d_{f2} = d_2 - 2,4 \cdot m;$$

ширина венца колеса, мм:

$$b_2 \leq 0,75 \cdot d_{a1}, \text{ при } Z_1=1 \text{ или } 2;$$

$$b_2 \leq 0,67 \cdot d_{a1}, \text{ при } Z_1=4;$$

длина нарезанной части червяка, мм:

$$l_1 = m(0.06Z_2 + 11), \text{ при } Z_1=1 \text{ или } 2;$$

$$l_1 = m(0.09Z_2 + 12,5), \text{ при } Z=4;$$

Для шлифуемых и фрезеруемых червяков полученную длину l_1 следует увеличить при $m > 10$ мм на 25 мм, при $m \geq 10 \dots 16$ мм на 35-40 мм и при $m > 16$ мм на 50 мм.

Начальный угол подъема винтовой линии червяка, град:

$$\gamma = \arctg(Z_1/q).$$

Окружная скорость на делительном диаметре червяка, м/с:

$$V_1 = \pi d_1 \cdot n_1 / 60000.$$

Скорость скольжения в зацеплении, м/с:

$$V_{ck} = V_1 / \cos \gamma.$$

Проверочный расчет.

Назначают материалы колес и определяют допускаемые контактные $[\sigma_H]_2$ и изгибные напряжения $[\sigma_F]_2$ для материала червячного колеса, МПа.

При серийном производстве червячных редукторов, когда окупаются затраты на специальное шлифовальное оборудование, для увеличения КПД и несущей способности передачи поверхности витков червяка термически обрабатывают, шлифуют и полируют. В этом случае Червяки изготавливают из закаливаемых сталей 45, 40Х, 40ХН, 35КГСА с твердостью 45-55 НРС₃ или цементируемых, сталей 20Х, 12ХНЗА, 18ХГТ с твердостью 56-62 НРС₃. Шлифуемые червяки следует делать эвольвентными (червяки типа Z I), обладающими технологическими преимуществами перед другими из-за возможности шлифования витков плоской стороной шлифовального круга.

На предприятиях нефтяного профиля, оснащенных универсальным оборудованием, червяки чаще изготавливают не шлифованными, из стали 45 с термообработкой "улучшение" (твердость H=269-302 НВ). В этих

условиях проще и точнее нарезается архимедов червяк (червяк типа Z A).

Для изготовления венцов червячных колес при скорости скольжения $V_{CK} > 5$ м/с применяют оловянные бронзы: 5рОФЮ10-1, БРОНФ10-I-I, БрОЦС5-5-3. Эти бронзы дороги и дефицитны, но хорошо противостоят изнашиванию и заеданию. При использовании этих материалов под действием циклически изменяющихся контактных напряжений возможно усталостное выкрашивание поверхностей зубьев. Заедание проявляется в легкой форме - в "намазывании" бронзы на червяк. При этом передача может еще долго работать.

При скоростях скольжения $V_{CK} \leq 5$ м/с применяют более дешевые безоловянные бронзы: БрАЖ9-4, БрАЖШ10 и латуни. Основной вид повреждения колес из таких бронз - заедание, которое происходит в ярко выраженной форме со значительными повреждениями поверхностей и последующим быстрым изнашиванием зубьев частицами материала колеса, приварившимися к червяку.

При $V_{CK} \leq 2$ м/с, преимущественно в ручных приводах, применяют относительно мягкие серые чугуны: СЧ 15, СЧ 18 и более твердые высокопрочные антифрикционные чугуны АЧС-4, АЧВ-1.

Допускаемые контактные напряжения для оловянных бронз находят из условия сопротивления материала поверхности усталости в условиях неизбежного износа, МПа;

$$[\sigma_H]_2 = (0,64...0,76) \cdot \sigma_B \cdot Z_N \cdot C_V \leq [\sigma_H]_{2\max},$$

где σ_B - предел прочности для бронзы при растяжении, МПа (табл. 7.2);

Z_N - коэффициент долговечности, вычисляют по формуле (7.1);

C_V - коэффициент, учитывающий интенсивность износа (табл.7.3);

$[\sigma_H]_{\max}$ =-предельно допускаемое контактное напряжение при провер-

по табл. 7.2).

При работе зубьев колеса обеими сторонами (реверсивная передача допускаемое напряжение $[\sigma_F]_2$ занижается на 20 %. Если зона зацепления находится в масляной ванне. $[\sigma_F]_2$ следует увеличить на 15%.

7.7. Определяют расчетные контактные напряжения в полисе «•1|пниляния, МПа :

$$\sigma_H = \frac{170}{Z_2/q} \sqrt{\left\{ \frac{Z_2/q+1}{a_w} \right\}^3 T_2 \cdot K_H},$$

где K_H - коэффициент нагрузки, принимают $K_H = 1,1 \dots 1,4$.

7.8. Проверяют выполнение условия прочности активных поверхностей зубьев колеса, как более слабых, по контактным напряжениям.

$$\sigma_H \leq [\sigma_H]_2.$$

В редукторах общего назначения допускается перегрузка до 5% и недогрузка до 20 % ($\sigma_H = (0,8 \dots 1,05)[\sigma_H]_2$). При невыполнении условия прочности или чрезмерной недогрузке принять новое значение Q_y (см. табл. 7.1) и повторить расчеты заново.

7.9. Определяют напряжения изгиба в зубьях червячного колеса. Ш1а :

$$\sigma_{F2} = \frac{1,5 \cdot T_2 \cdot K_F \cdot Y_{F2}}{d_2 \cdot d_1 \cdot m} \cdot \cos \gamma,$$

K_H - коэффициент нагрузки. При учебном проектировании можно принять $K_H = K_P = 1,1 - 1,4$;

Y_{F2} - коэффициент формы зуба червячного колеса, выбираемый по числу зубьев эквивалентного колеса $Z_{v2} = Z_2 / \cos^3 \gamma_w$ (табл. 7.5.).

Таблица 7.5

Z_{v2}	20	24	26	28	30	32	35	37	40	50	60	80
Y_{F2}	1,98	1,88	1,85	1,80	1,76	1,71	1,64	1,61	1,55	1,45	1,40	1,34

7.10. Проверить выполнение условия изгибной выносливости колеса $\sigma_F \leq 1,05 \leq [\sigma_F]_2$.